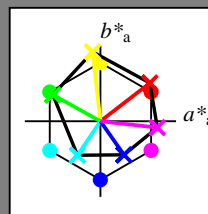


Entrée et sortie: Système Offset Reflective ORS18a

Données de couleurs périphériques (d)  
ou élémentaires (e): $HIC^*_-$ code de teinte pour les cou-  
leurs de cette page: $H^*_-$  = R00Y-, R25Y-, ..., B75R-

## ORS20a; données CIELAB (a) adaptées

$H^*_-$	$L^*=L^*_a a^*_a$	$b^*_a$	$C^*_{ab,a}$	$h^*_{ab,a}$
R00Y_100_100_	48.4	66.1	40.2	77.3
R25Y_100_100_	56.8	48.0	50.5	69.6
R50Y_100_100_	68.6	25.0	63.9	68.6
R75Y_100_100_	80.6	4.8	77.2	77.3
Y00G_100_100_	90.2	-9.6	88.2	88.7
Y25G_100_100_	83.2	-18.4	79.9	81.9
Y50G_100_100_	73.3	-31.7	62.7	70.2
Y75G_100_100_	62.0	-49.7	43.2	65.8
G00B_100_100_	55.8	-65.2	33.8	73.4
G25B_100_100_	59.3	-50.3	-9.0	51.0
G50B_100_100_	63.0	-30.5	-42.0	51.9
G75B_100_100_	45.7	-5.7	-44.6	44.9
B00R_100_100_	27.5	25.9	-47.3	53.9
B25R_100_100_	38.3	52.6	-28.5	59.8
B50R_100_100_	49.5	73.5	-9.0	74.0
B75R_100_100_	48.9	69.3	12.9	70.4



%Gamme

 $u^*_{rel} = 92$ 

%Régularité

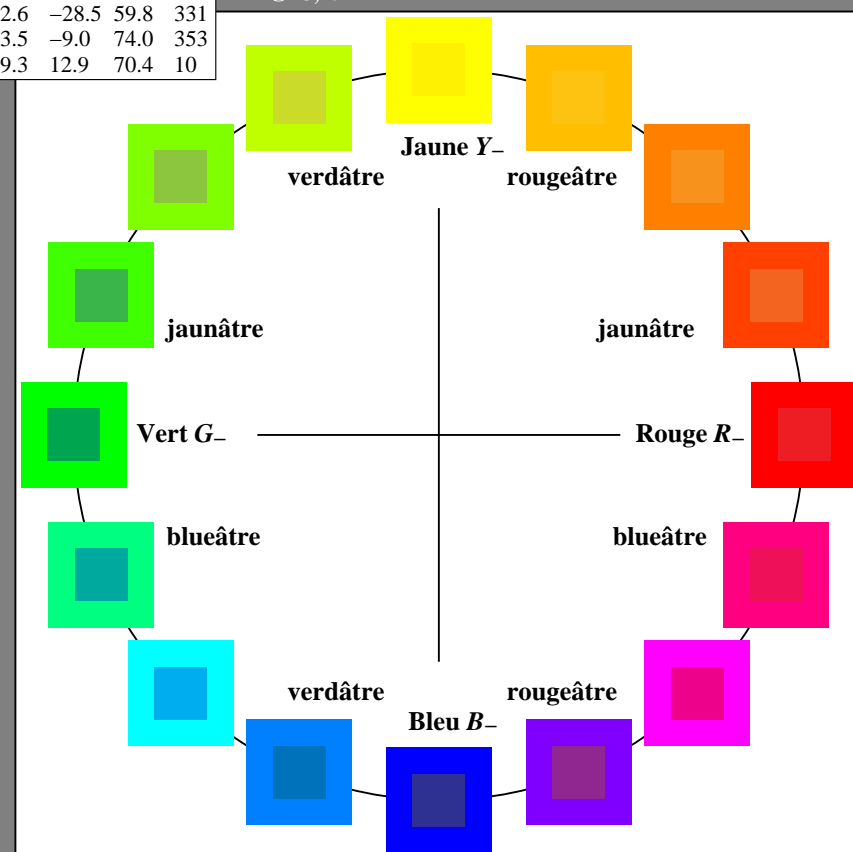
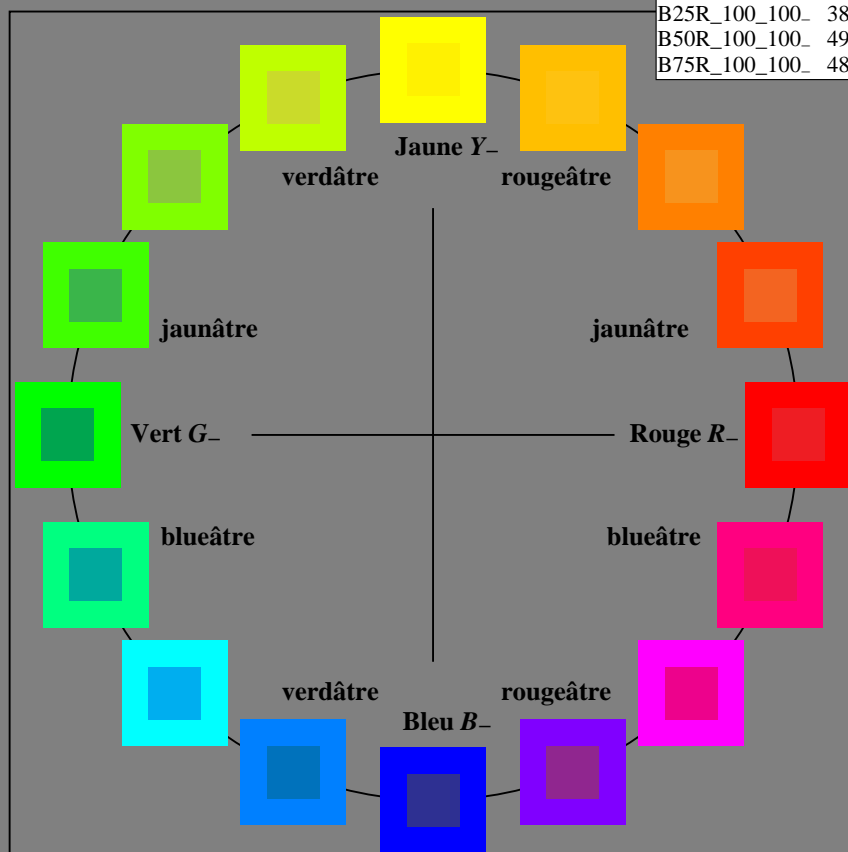
 $g^*_{H,rel} = 57$  $g^*_{C,rel} = 58$ 

## ORS18a; données CIELAB (a) adaptées

nom	$L^*=L^*_a a^*_a$	$b^*_a$	$C^*_{ab,a}$	$h^*_{ab,a}$
R-,Ma	47.9	65.3	50.5	82.6
Y-,Ma	90.3	-10.2	91.7	92.3
G-,Ma	50.9	-62.8	34.9	71.9
C-,Ma	58.6	-30.3	-45.0	54.2
B-,Ma	25.7	31.0	-44.4	54.2
M-,Ma	48.1	75.2	-8.3	75.7
N-,Ma	18.0	0.0	0.0	0
W-,Ma	95.4	0.0	0.0	0
R-,CIE	39.9	58.7	27.9	65.0
Y-,CIE	81.2	-2.8	71.5	71.6
G-,CIE	52.2	-42.4	13.6	44.5
B-,CIE	30.5	1.4	-46.4	46.4

TUB enregistrement: 20130201-PF86/PF86L0NP.PDF /PS  
application pour la mesure des sorties sur offset

TUB matériel: code=th44ta



3-003031-L0 PF860-7N

graphique TUB-PF86; cercle de teinte, 16 étapes  
graphique conforme à DIN 33872, 3D=0, de=0, cmy0entrée : rgb/cmyk -> rgb/cmyk  
sortie : aucun changement